

Instituto LEICI, de Electrónica, Instrumentación, Control y Procesamiento de Señales Departamento de Electrotecnia- Facultad de Ingeniería

Universidad Nacional de La Plata - Argentina

## ESTRATEGIA MPPT PARA CONDICIÓN DE SOMBRAS PARCIALES

Inthamoussou, Fernando A. y Valenciaga, Fernando Grupo de Control Aplicado – LEICI (UNLP-CONICET)

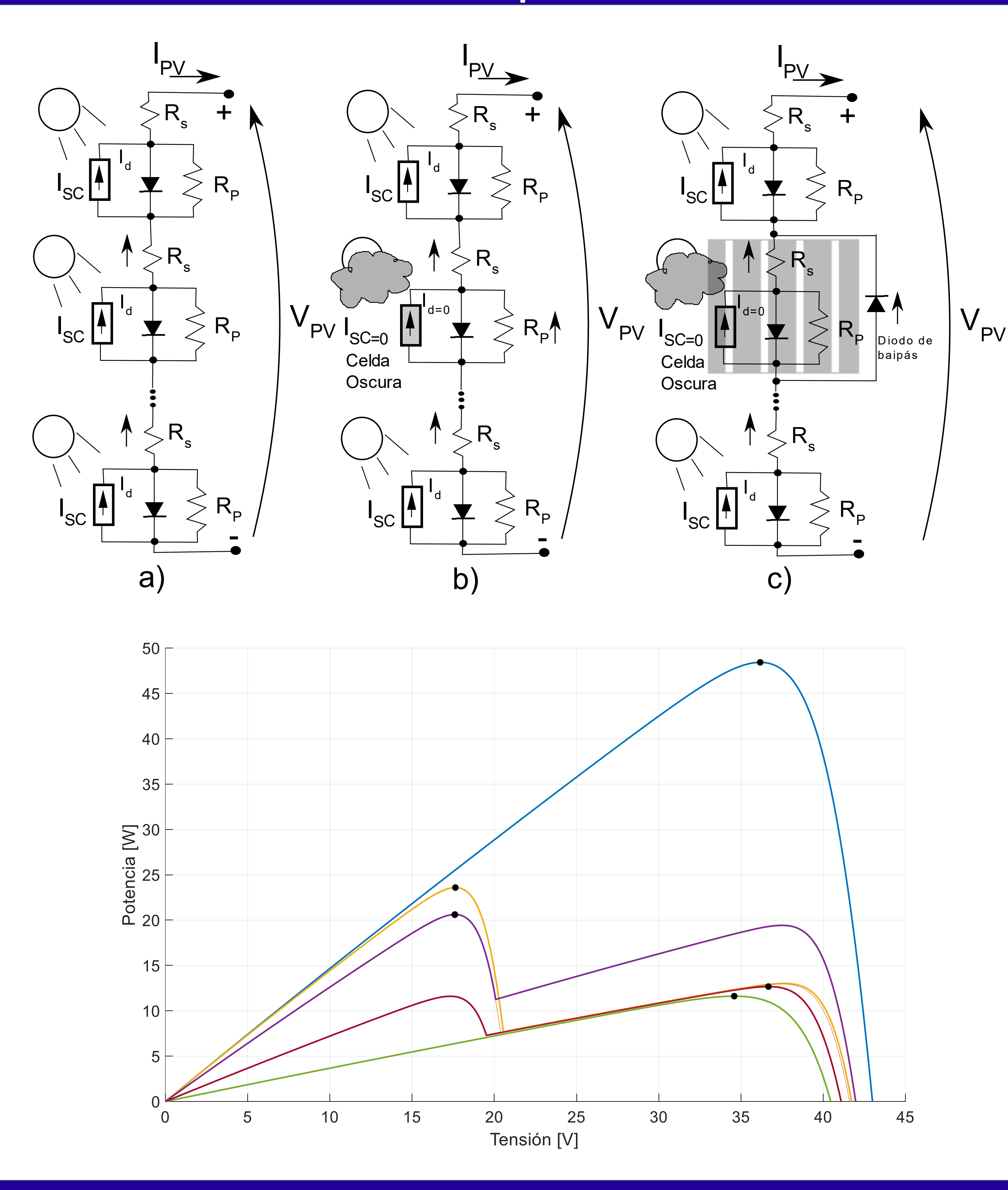
{intha,fval}@ing.unlp.edu.ar

#### Resumen

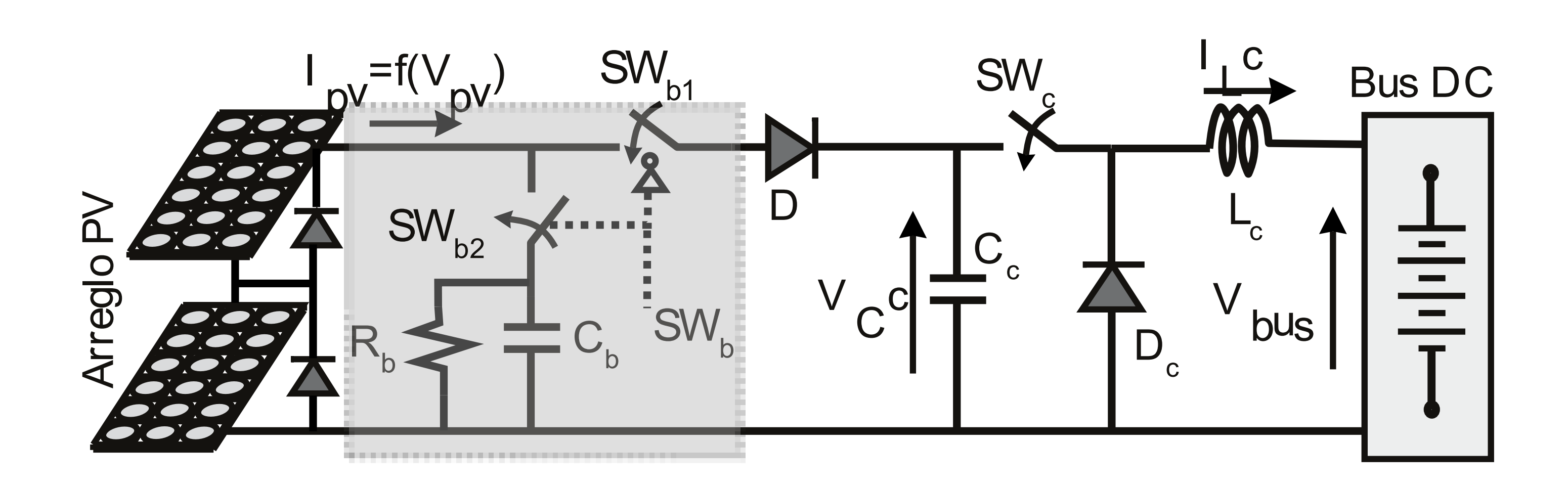
En este trabajo se presenta una estrategia para el alcance tensión-potencia del arreglo fotovoltaico sin afectar el sencillo ubicado entre el convertidor y el arreglo y seguimiento del Punto de Operación de Máxima nivel de potencia entregado por el mismo. Este barrido fotovoltaico que puede adaptarse a cualquier topología. Potencia (POMP) de sistemas fotovoltaicos. La propuesta permite identificar tanto el valor de potencia como la Su breve duración hace que la potencia suministrada a la resuelve el objetivo planteado tanto para condiciones de tensión a la cual se produce el POMP. El valor de esta carga no se vea interrumpida, pudiendo así repetirse el incidencia de radiación uniforme como para el caso de tensión se usa entonces como referencia de un lazo ensayo periódicamente evitando el empleo de estrategias existencia de sombras parciales aún considerando valores cerrado de control basado en modos deslizantes (MD) de de seguimiento del POMP asociadas. El desempeño de la de radiación variantes en el tiempo. La metodología se primer orden, que logra forzar la operación sobre el propuesta se evalúa mediante resultados de simulación.

basa en la realización de un barrido de la característica punto óptimo. El barrido se realiza utilizando un circuito

### Sombras parciales



#### Sistema



Se fijó como tiempo total de barrido el correspondiente a un período de conmutación del convertidor, del orden de  $25\mu s$ .

$$v_{C_b} = \frac{1}{C_b} \int_0^t I_{CC} dt \longrightarrow \Delta v_{C_b} = \frac{1}{C_b} I_{CC} \Delta t$$

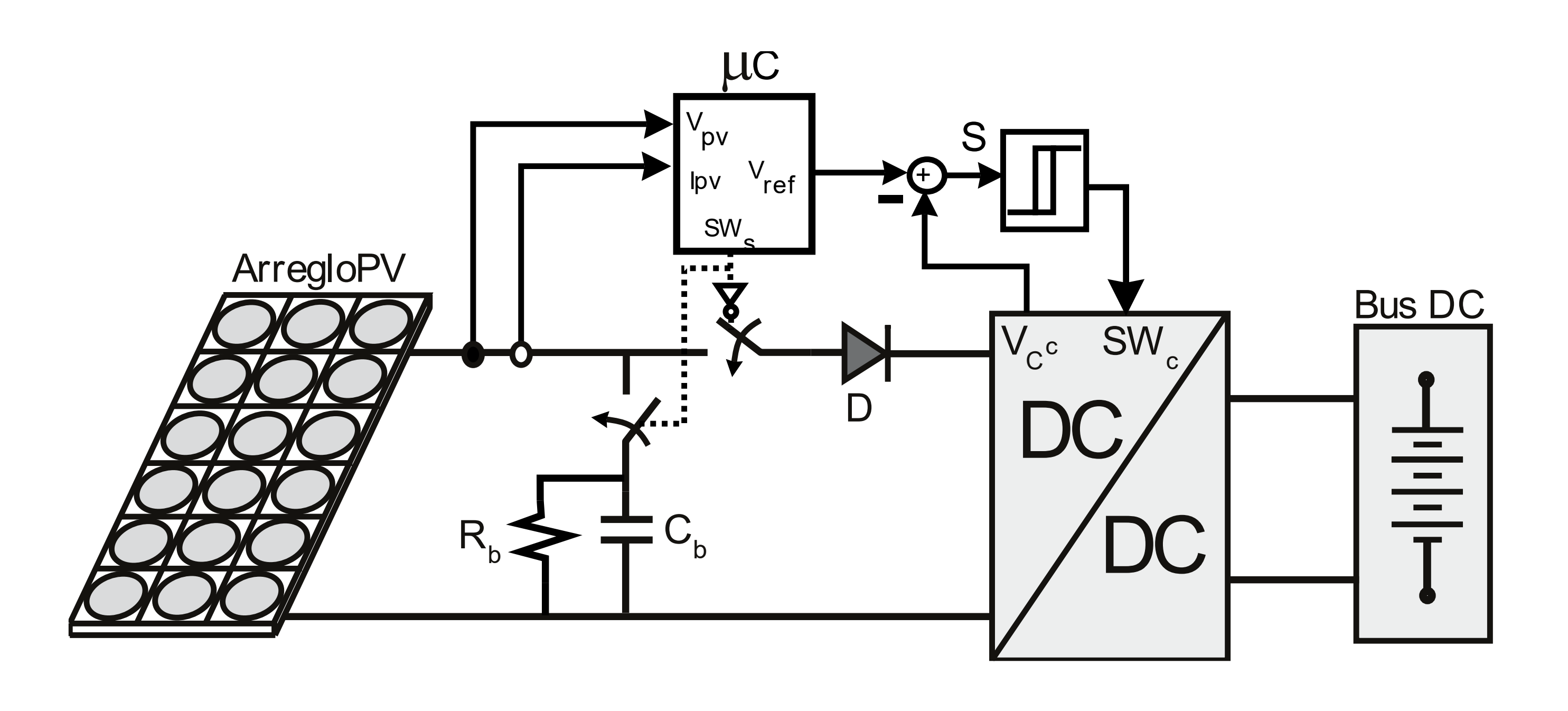
$$C_b = \frac{I_{CC}\Delta t}{\Delta v_{C_b}} \longrightarrow C_b = \frac{1,86A \times 25\mu s}{43V} = 1,08\mu F \longrightarrow 1\mu F$$

Asumiendo que el barrido se realiza cada  $20 \, ms$  y considerando un tiempo de descarga  $(t_d)$  de dos constantes de tiempo  $(\tau = R_b C_b)$ , el valor de  $R_b$  resulta:

$$t_d = 2 \times R_b \times C_b => R_b = \frac{t_d}{2 \times C_b} \longrightarrow 10 \ k\Omega$$

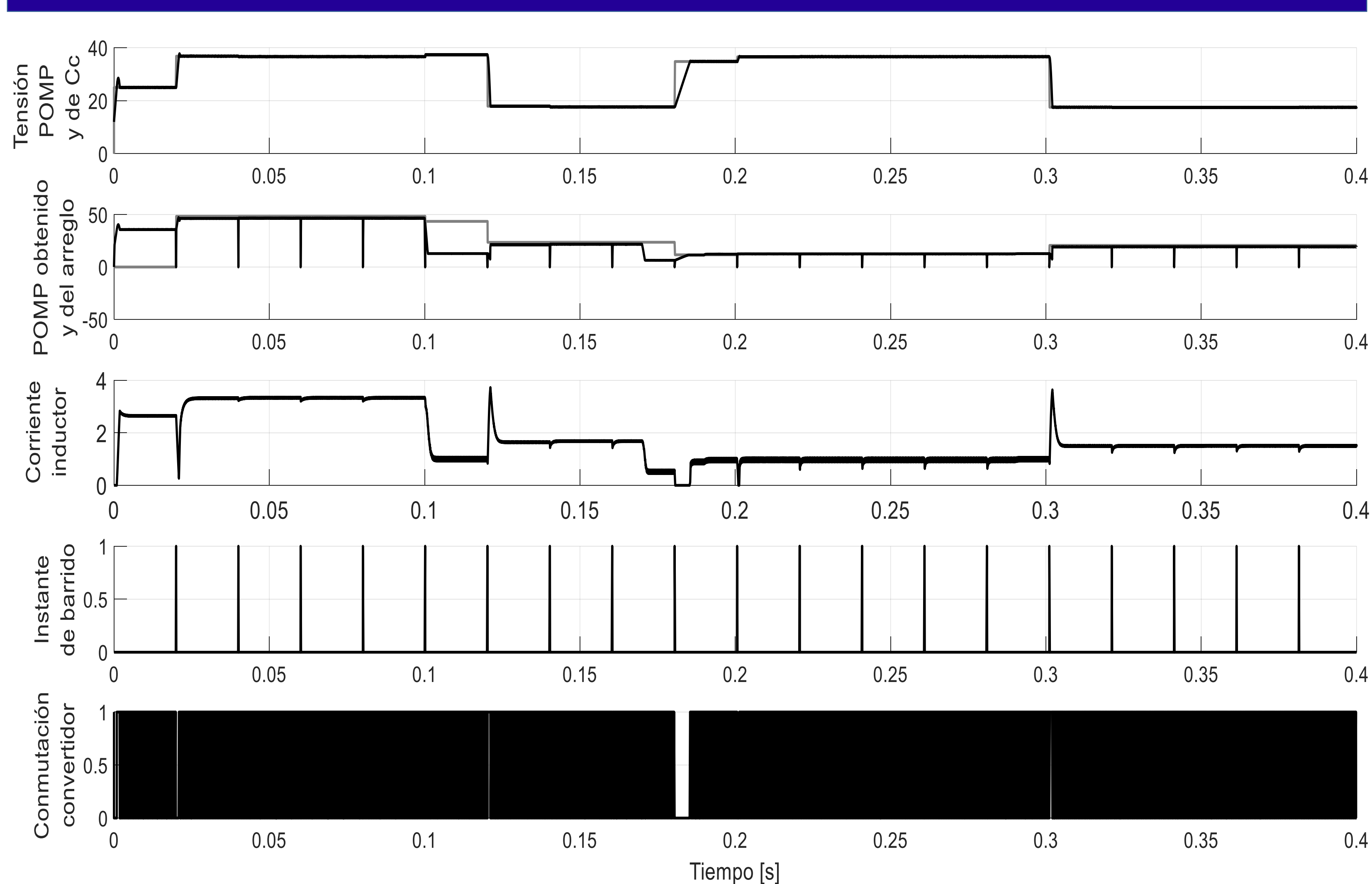
La frecuencia de muestreo se fijó en 1 MSPS resultando en un total de 25 muestras dentro del período que determina la excursión de la corriente de cortocircuito.

#### Control



$$\begin{cases} \dot{V_{C_c}} = \frac{I_{pv}(V_{C_c})}{C_c} - \frac{I_{L_c}}{C_c} SW_c \\ \dot{I_{L_c}} = -\frac{V_{bus}}{L_c} + \frac{V_{C_c}}{L_c} SW_c \end{cases} SW_c = \frac{1 + sign(V_{C_c} - V_{ref})}{2}$$

# Resultados



### Conclusiones

Se presentó un estrategia para el seguimiento del POMP propuesta y el buen desempeño de la misma. La gran POMP. A pesar de ello, la topología presentada puede

radiación uniforme como de sombras parciales. Los modo deslizantes de primer orden permiten prescindir de tipo. resultados obtenidos muestran la aplicabilidad de la la utilización de las técnicas comunes de seguimiento del

en arreglos fotovoltaicos, tanto para condiciones de velocidad de barrido en combinación con el control por adaptarse naturalmente al empleo de estrategias de este